

I - 5 光弾性応力凍結法による地中構造物の応力測定について

鹿児島高専 正員 前藤 利一郎

1. まえがき 本研究は、地中構造物の一つである埋設管に主として鉛直土圧が作用する場合の応力状態を、三次元光弾性実験(応力凍結)法を用いて観察しようとしたものである。ここにその結果の一部を報告する。

2. 実験の概要: ここで、実験の対象とする管路は、それを設置する方法によって、地上と地下(設置)と分けられ、横断面の形状あるいは構造により、さらにいくつかに分類されるようである。

実験を試みるにあたり、周囲をとりまく土質条件として(i), 特殊な地域環境(南端州)と広く分布する工学問題としているシラスを用いた場合(実験(I)), 次いで(ii), (i)と応力状態を比較するために標準砂を用いた場合を実験(II)と名づける。実験に際し、(i), (ii)の管路には内圧が作用する場合を取り扱うこととした。写真-1に自製した三次元用の試験片(外径D: 49.5mm 内径d: 35.0mm 長さl: 85.5mm)の例を示す。

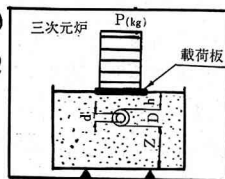


図-1

材料は、市販されていいるイタルタイトBを主剤とし、硬化剤には無水タル酸系のものを用い、シラスの重量比を100:30とした。試験片の作製にあたり、まず主剤に含まれている水を煮えらせる水分、あるいは気泡を完全に除去するために主剤を150~170°Cで2時間熱処理することとし、これに硬化剤を混入して攪拌して型枠に注入した。攪拌の際には、急速な硬化反応を防ぐために努めた。



離型剤には市販のシリコンパウンドを用いた。図-1に載荷状況を示す。ここで、 $P=103.0\text{kg}$ 。
 $R=50.0\text{mm}$ $Z=110.0\text{mm}$ 載荷板(mm) $/60\times148\times6$ である。一方、試験片を埋設する際には、実験(II)写真-1と同様に3層にかけて200回ずつ突き固めた。

三次元用の試験片に応力凍結法を凍結させるための応力凍結操作の手順は大体次の通りである。(写真-2参照)、まず、実験(I), (II)が同一条件にするように焼成、試験片の温度を120~130°Cに上昇させる。この温度調整および検出には、熱電対を用い、デジタル温度計により荷重の載荷温度を検討し、125°C近傍で載荷を行ひ、4時間保証後、1時間間隔で4°Cずつ除冷し常温(25°C)まで下げるこことした。

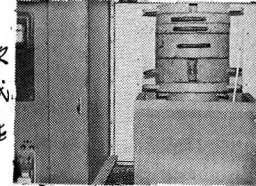
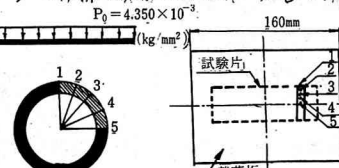


写真-2

載荷(荷重)は、いくつかの予備実験の結果を検討し、弾性範囲のシマ次数を観察し得るように考慮した。

通常の光弾性法では、荷重を増減させることにより応力集中の度合、もしくはシマ次数の増減を観察し得るが、本法を用いるに、シマ次数を観察しながら荷重の増減をし得なくなる。いま、応力凍結時の温度を120°C近傍で考へてみると、光弾性感度は大体で 40mmK^{-1} 程度を示し、常温の34の44~45倍となる。一方、高温時ににおけるヤング係数(E)は逆の傾向が認められかたまり低下する傾向が知られる。したがって、応力凍結が行はれていふ過程で試験片が破壊しないよう、凍結を行はう際には、荷重をかなり詳しく算定し、調べようとするスライス片の厚さに対応するシマ次数を得るよう試みた。ここで、スライス片を6mmと定めてシマ次数の観察を行なうこととした。

3. 実験の結果および検討: 写真-3、図-4参照、写真-3(実験II)は、中間断面の等色線の例である。実験(II)に付けても同じような傾向が認められる。シマ模様の撮影には通常の装置を用い浸漬(モノクロムナフタリン)と流動パラフィンの混合液に浸漬して行なった。



応力解説は、文献(2)の方法により図-2に見るように断面の分割点上の応力の算定を試みた。図-3にその結果を示す。

図-4は、写真-3より判読した応力分布をシマ次数単位で示したものである。シマ次数を調べるために、図-2

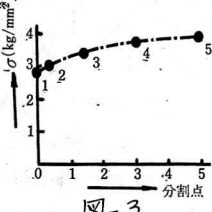


図-3

三次元応力状態に凍結された試験片をそのままの状態で調べるのは困難である。

そこで、実験→解析を試るには、何らかの形にスライス片をとりだし、平面応力状態と同様に真の主応力差が得られるように工夫する必要がある。

スライス片をとり出すのに、主軸を含まない任意のスライス片を考えると応力の解析が著しく困難となる。1次が、2次、3次のような

向きと形に選ぶかを調べ、偏光をどのように通すかを検討した。本実験では、全て主応力面スライスとし、筆直入射法を採用したので、平面応力状態として取り扱うことができる。応力の観察が容易となる。結果の精度が高まると考えられる。

実験から得られるシマ次数を調べるのに、通常の実験法と異なって基本シマ次数の0次を複数して得ない。すなはち引張応力の判読が容易ではない。そこで、調べようとするスライス片に外力を与え、スライス面内に生じる次数の増減を検討した。一方、等傾曲線の動きの調べ、特異点の位置を知り判読した。

写真-4は破断前の第1色線の一部を示す。写真に見るように特異点が認められ、引張りの領域が明確である。図-5は、極座標における平面問題と、近似理論により求めた各断面の命刺点の応力値である。図-6は、 $\theta=0^\circ, 45^\circ, 90^\circ$ の断面の切線方向の直応力の関係を示したものである。図-7は、最も応力が高まると考えられる $\theta=0^\circ$ の断面について、第1色線と等傾曲線を求めて命刺点上の切線方向の応力を近似理論値と比較したものである。

4. まとめ

本実験では、支持方法を考慮せず、土質条件のシラス、標準砂の上に直接埋設したので、応力凍結の過程で、試験片の移動が自由と考えられ、支持反力の分布状態の考察が必要であろう。

本法を用いて三次元応力状態を観察するのは良好と考えられる。1カットから応力を凍結せよ際、かたまりの高温熟処理させるために、周囲をよく土質条件の繊性が失われるところが考られる。応力状態を観察する際、主応力面スライスをとりだし、応力状態を三次元的に観察すると応力状態の傾向を知ることができます。

写真-5は、地中構造物のカルバートに鉛直土圧を与えた場合の中米断面におけるスライス片を、常温で測定する方法を検討中のものである。

参考文献

- (1) 京田千三編：埋設管設計法、新北山版 1971-7
- (2) 最上武雄編著：土質力学PP231～242、技報堂
- (3) 川本勝男著：応力弹性学、共立出版
- (4) 菊原：有孔ドリルの特異点に関する実験的研究、昭和48年度研究叢書論文集
- (5) 絹、西田他：光弹性実験法、日刊工業新聞社 PP.283～317
- (6) 村田、山根：地山シラスの3次元弹性性について、第27回日本学会年次学術講演会、昭.47.10.5
- (7) 成瀬他：新土木設計法-1・4・7下巻、新北山版

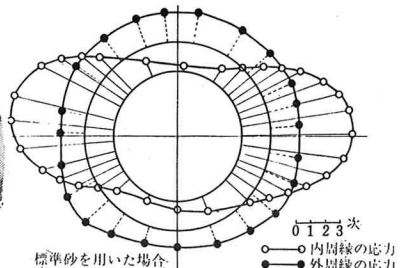
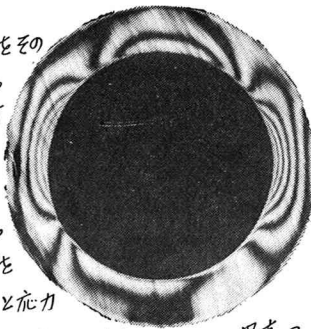


図-4

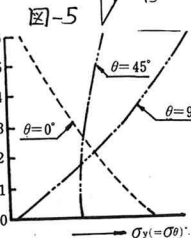
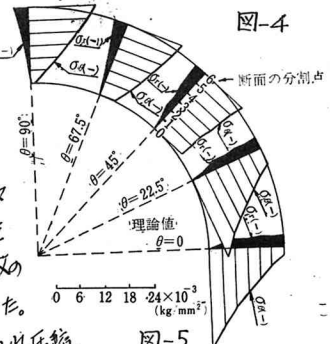


図-6

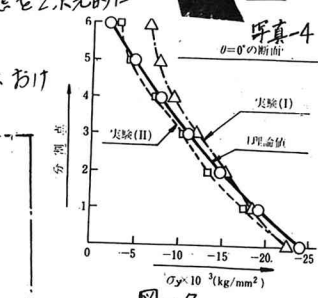


図-7



写真-5